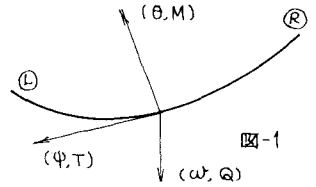


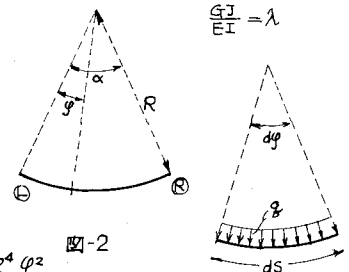
1. まえがき ここでは、円弧部材によって構成される構造物の解析のための基本式を示すが、ここに言う円弧部材とは、その材軸が一平面内で円弧をなし、かつ材軸と含む面に直交な方向から荷重が作用するものとする。またねじりモーメントが作用する場合、ソリの影響は無視することができるとする。以下には、このような構造に対する基本式を示すが、直線は円弧の特別な場合であると考えれば、円弧部材の基本式は直線部材の式にも含む。



1-1. 部材座標系 …… 部材の任意点に接線、法線および材軸を含む平面に直交な方向を考之、これを部材座標系に之らび、図-1に示す方向を正とする。

1-2. 節点力と節点変位 …… (R)端: せん断力 Q は座標軸の正方向に作用するものと正、曲げおよびねじりモーメント M, T は座標軸の正方向にまわりて時計回りのものと正とし、変位 (ω, θ, φ) は、これらに共通な節点力と同じ向きをもつ場合と正とする。(L)端: Q は座標軸の負方向のものと正、M, T は軸の負方向にまわりて時計回りのものと正とし、変位は軸の正方向に変位する場合、軸の正方向にまわりて時計回りに回転する場合と正とする。

2. 基本式 図-2 の場合につりて以下の式が得られる。



$$\frac{dQ}{ds} = q, \quad \frac{dM}{ds} - \frac{T}{R} - Q = 0, \quad \frac{M}{R} - \frac{dT}{ds} = 0 \quad \dots (1)$$

$$\frac{d^6 w}{ds^6} + 2 \frac{d^4 w}{ds^4} + \frac{d^2 w}{ds^2} = - \frac{R}{EI} \left(\frac{q}{\lambda} - \frac{d^2 \beta}{ds^2} \right) \quad \dots (2)$$

式(2)の一般解は、

$$w = C_1 + C_2 \varphi + C_3 \sin \varphi + C_4 \varphi \cdot \sin \varphi + C_5 \cos \varphi + C_6 \cdot \varphi \cdot \cos \varphi - \frac{qR^4}{\lambda EI} \frac{\varphi^2}{2}$$

C₁, C₂, …… C₆ は境界条件からきめられる。これらの式をもとにして、円弧部材の Field Transfer

Equation は次のように求めることができる。

$$\begin{bmatrix} w \\ \bar{\theta} \\ \bar{\varphi} \\ M \\ T \\ Q \\ 1 \end{bmatrix}^R = \begin{bmatrix} 1 & -\text{Sind} & 1-\text{Cosd} & -\frac{R^2}{24J} A & -\frac{R^2}{24J} D & \frac{R^3}{24J} F & w_0^R \\ 0 & \text{Cosd} & -\text{Sind} & -\frac{R^2}{24J} B & -\frac{R^2}{24J} C & \frac{R^3}{24J} A & \bar{\theta}_0^R \\ 0 & \text{Sind} & \text{Cosd} & -\frac{R^2}{24J} C & -\frac{R^2}{24J} E & -\frac{R^3}{24J} D & \bar{\varphi}_0^R \\ \hline 0 & 0 & 0 & \text{Cosd} & -\text{Sind} & R \cdot \text{Sind} & M_0^R \\ 0 & 0 & 0 & \text{Sind} & \text{Cosd} & R(1-\text{Cosd}) & T_0^R \\ 0 & 0 & 0 & 0 & 0 & 1 & Q_0^R \\ \hline 0 & 0 & 0 & 0 & 0 & 0 & 1 \end{bmatrix} \begin{bmatrix} w \\ \bar{\theta} \\ \bar{\varphi} \\ M \\ T \\ Q \\ 1 \end{bmatrix}^L \quad \dots (3)$$

$\bar{\theta} = R \cdot \theta$
 $\bar{\varphi} = R \cdot \psi$
 $w_0^R, \bar{\theta}_0^R, \dots$ etc; 荷重値

$$A = 2(1-\text{Cosd}) - \alpha(1+\lambda)\text{Sind}, \quad C = \alpha(1+\lambda)\text{Sind}, \quad F = -2(d-\text{Sind}) + (1+\lambda)\text{Sind} - \alpha(1+\lambda)\text{Cosd} \quad \dots (4)$$

$$B = (1+\lambda)(\text{Sind} + \alpha \text{Cosd}) - 2\text{Sind}, \quad D = (1+\lambda)(\text{Sind} - \alpha \text{Cosd}), \quad E = (1-\lambda)\text{Sind} + \alpha(1+\lambda)\text{Cosd}$$

式(3)の正方マトリクスが Field Transfer Matrix であるが、式(3)の極限值と求めれば直線部材の場合の式が得られる。たとへば、 $\lim_{\alpha \rightarrow 0} (-\frac{R^2}{2GJ} A) = \frac{l^2}{2EI}$, $\lim_{\alpha \rightarrow 0} (-\frac{R^3}{2GJ} F) = \frac{l^3}{6EI}$ などである。

つぎに式(3)を変形すると部材両端における断面力と変位の関係式と求めることができる。すなわち

$$\begin{bmatrix} M^L \\ T^L \\ Q^L \\ M^R \\ T^R \\ Q^R \end{bmatrix} = -\frac{2GJ}{R^2} \begin{bmatrix} H & K & 0 & -H & \nabla & -N \\ I & L & P & -I & N & -U \\ J/R & M/R & I/R & -J/R & H/R & -I/R \\ \hline -H & M & S & H & K & L \\ I & N & U & -I & 0 & P \\ J/R & M/R & I/R & J/R & H/R & -I/R \end{bmatrix} \begin{bmatrix} w^L \\ \bar{\theta}^L \\ \bar{\varphi}^L \\ w^R \\ \bar{\theta}^R \\ \bar{\varphi}^R \end{bmatrix} \quad \dots (5)$$

たゞし、

$$\begin{aligned} H &= 2(1-\cos\alpha)[\alpha(1+\lambda) - (1-\lambda)\sin\alpha]/G, & J &= -[\alpha^2(1+\lambda)^2 - (1-\lambda)^2\sin^2\alpha]/G \\ I &= -(1-\lambda)[\alpha^2(1+\lambda) - 2\alpha\sin\alpha + (1-\lambda)\sin^2\alpha]/G, & N &= 2(1+\lambda)[- \alpha^2\sin\alpha + (1-\cos\alpha)(\alpha + \sin\alpha)]/G \\ K &= -2[\alpha^2(1+\lambda) + \alpha(1-\lambda)\sin\alpha\cos\alpha - 2\sin^2\alpha]/G, & \nabla &= 2[\alpha^2(1+\lambda)\cos\alpha + \alpha(1-\lambda)\sin\alpha - 2\sin^2\alpha]/G \\ L &= 2[(1-\lambda)(1-\cos\alpha)(\alpha - \sin\alpha) + (\alpha\sin\alpha + 2\cos\alpha - 2)\sin\alpha]/G \\ M &= 2[-\alpha^2(1+\lambda)\cos\alpha + \alpha\sin\alpha(2\lambda - 2\lambda\cos\alpha + \lambda\cos^2\alpha - 1) + 2\sin^2\alpha]/G \\ O &= 2[\alpha\{(1-\lambda)\sin^2\alpha + (1+\lambda)(1-\cos\alpha)\} - (3-\lambda)(1-\cos\alpha)\sin\alpha]/G \\ P &= [(1+\lambda)\{-\alpha^2(3+\lambda) + 4\lambda\sin\alpha + (1+\lambda)\sin^2\alpha\} + 2\cos\alpha\{\alpha(1-\lambda)\sin\alpha - 4(1-\cos\alpha)\}]/G \\ S &= 2(1-\cos\alpha)[(1+\lambda)(\alpha^2\frac{\sin\alpha}{1-\cos\alpha} - \alpha - \sin\alpha) + \alpha\lambda(1-\cos\alpha)\cos\alpha]/G \\ U &= [-\alpha^2(1+\lambda)(1+\lambda + 2\cos\alpha) + 2\alpha(3+\lambda)\sin\alpha - 2(1-\cos\alpha) + (1+\lambda)^2\sin^2\alpha]/G \\ G &= 2[\alpha(1+\lambda)\{\alpha^2(1+\lambda) - 4(1-\cos\alpha)\} - (1-\lambda)\sin\alpha\{\alpha(1-\lambda)\sin\alpha - 4(1-\cos\alpha)\}] \end{aligned} \quad \dots (6)$$

式(5)の極限值は直線部材の式に他ならない。たとへば、 $\lim_{\alpha \rightarrow 0} (-\frac{2GJ}{R^2} H) = -\frac{6EI}{l^2}$, $\lim_{\alpha \rightarrow 0} (-\frac{2GJ}{R^2} K) = \frac{4EI}{l}$ などである。

これらの式を用いて、全体座標系、直交条件、釣合条件と考へれば、Point Transfer Equation と求めることができる。たとへば、円弧橋りげたの場合には、

$$\begin{bmatrix} V_1 \\ V_2 \\ V_3 \\ \vdots \\ V_m \\ 1 \end{bmatrix} = \begin{bmatrix} K_1 & \beta_1 & 0 & 0 & \dots & 0 & Q_{01} \\ & \beta_1' & K_2 & \beta_2 & 0 & \dots & 0 & Q_{02} \\ & 0 & \beta_2' & K_3 & \beta_3 & \dots & 0 & Q_{03} \\ & \vdots & \vdots & \vdots & \vdots & \ddots & \vdots & \vdots \\ & 0 & 0 & \dots & \dots & K_m & Q_{0m} \\ & 0 & 0 & \dots & \dots & 0 & 1 \end{bmatrix} \dots (7) \quad V_j = \begin{bmatrix} w \\ \bar{\theta} \\ \bar{\varphi} \\ M \\ T \\ Q \end{bmatrix} \quad K_j = \begin{bmatrix} I & 0 \\ \bar{K}_{22}^{aj} & -\bar{K}_{11}^{aj+1} \\ & I \end{bmatrix} \quad \beta_j = \begin{bmatrix} 0 & 0 \\ -\bar{K}_{12}^{aj+1} & 0 \end{bmatrix} \quad \beta_{j+1}' = \begin{bmatrix} 0 & 0 \\ \bar{K}_{21}^{aj} & 0 \end{bmatrix} \quad \dots (8)$$

これは、式(3)による Field Transfer Equation によつて伝達される。
円弧部材に対する基本式を用いて、円弧構造物の解析と行なうことができる。先に述べたように、円弧部材の式は直線部材の式と含むので、直線部材に対してはマトリクス要素の極限值を用いることとすれば、円弧構造物の解析式は直線構造物にも用いることができ、さらに、円弧部材に対してはその α と λ に対する値、直線部材には極限值を使用すれば、円弧部材と直線部材の併用による構造物と解くことができる。